

# ТРАНСПОРТНОЕ И ЭНЕРГЕТИЧЕСКОЕ МАШИНОСТРОЕНИЕ

621.01

## СПЕКТРАЛЬНЫЙ СОСТАВ ИМПУЛЬСОВ ДАВЛЕНИЯ В МОДУЛЯТОРЕ С ТРЕУГОЛЬНОЙ МОДУЛЯЦИЕЙ ПЛОЩАДИ ЕГО ПРОХОДНОГО СЕЧЕНИЯ

Асп. О.В МАРШАЛОВ, д-р. техн. наук., проф. В.Ф ЮДАЕВ, канд. техн. наук., доц. В.И.БИГЛЕР

Решена задача о нестационарном течении несжимаемой жидкости через модулятор, площадь проходного сечения которого изменяется во времени. Определены формы импульсов скорости и переменного давления в модулированном потоке жидкости, а также спектральный состав импульсов давления.

The problem about non-stationary current of an incompressible liquid through the modulator with changing area is solved. Forms of impulses of speed and variable pressure in the modulated stream of a liquid and also spectral structure of impulses of pressure are certain.

Задачи такого рода возникают при проектировании роторных аппаратов с модуляцией потока (РАМП) [1], когда необходимо определить гидравлические и акустические характеристики аппарата. При расчете воздушных динамических сирен и клапанных преобразователей обычно пренебрегают влиянием инерции воздуха. Это позволяет считать изменение объемной скорости  $Q(t)$  подобным изменению площади проходного сечения модулятора  $S(t)$  при любом законе модуляции:  $Q(t) \sim S(t)$ . Однако если рабочая среда имеет значительную плотность (а РАМП предназначены для процессов диспергирования и гомогенизации именно в жидкостях, плотность которых на три порядка больше плотности воздуха), то можно ожидать, что инерционность жидкости будет приводить к существенному изменению закона модуляции объемной скорости и соответственно спектра колебаний давления, возникающих при перекрывании отверстий в статоре вращающимся ротором.

Уравнение течения несжимаемой жидкости с плотностью  $\rho$  в упрощённом модуляторе (рис.1), представляющем собой патрубок длиной  $l$  и площадью поперечного сечения  $S_0$ , в котором установлена диафрагма с изменяющейся площадью  $S(t)$  отверстия, при разности давлений  $\Delta P = (P_1 - P_2)$  на модуляторе имеет вид [2]

$$\rho l \frac{d\psi}{dt} + \zeta \frac{\rho \psi^2}{2} = \Delta P \quad (1)$$

где  $\psi = \frac{Q(t)}{S_0}$  — средняя по сечению патрубка скорость жидкости;  $Q(t)$  — объёмный расход;  $S_0$  — площадь поперечного сечения модулятора;  $l$  — длина модулятора;  $\zeta = \zeta_{\text{кв}} + \frac{A}{Re}$  — коэффициент гидравлического сопротивления;  $Re$  — критерий Рейнольдса;  $\zeta_{\text{кв}}$  — сумма коэффициентов местных сопротивлений в квадратичной области сопротивления;  $A$  — коэффициент, зависящий от вида местных сопротивлений и включающий в себя также сопротивление трения по длине модулятора;  $\rho$  — плотность жидкости;

Для развитого турбулентного течения потерями энергии на трение ( $A/Re$ ) в коротком патрубке можно пренебречь. Тогда  $\zeta \approx \zeta_{\text{кв}}$ , т.е. сопротивление течению жидкости через диафрагму принимаем пропорциональной квадрату скорости. Коэффициент сопротивления в квадратичной области складывается из трех местных сопротивлений: входа в патрубок, диафрагмы и выхода из патрубка [3]

$$\zeta_{\text{кв}} = (\zeta_{\text{вх}} + \zeta_{\text{вых}}) + \zeta_{\text{диаф}} = 1,5 + \left( \frac{1}{\varepsilon(t') S'(t')} - 1 \right)^2 \quad (2)$$

где  $\zeta_{\text{вх}}, \zeta_{\text{вых}}$  — гидравлические сопротивления входа и выхода модулятора;  $\zeta_{\text{диаф}}$  — гидравлическое сопротивление диафрагмы;  $S'(t') = S(t)/S_0$  — относительная площадь отверстия диафрагмы,  $\varepsilon(t')$  — коэффициент сжатия струи, определяемый из таблиц Жуковского [4].

Приводя уравнение (1) к безразмерному виду, в приближении развитого турбулентного течения получим

$$\frac{d\psi'}{dt'} = H_0 (1 - \zeta_{\text{кв}} \psi'^2) \quad (3)$$

где  $\psi'$  — безразмерная скорость;  $H_0$  — критерий гомохронности, который определяет степень нестационарности течения.

Чем меньше период изменения  $S(t)$  и перепад давления на модуляторе, тем дальше про-

цесс течения от стационарного.

Задачей является спектральный анализ импульсов ускорения жидкости в патрубке модулятора. Важность задачи определяется тем, что форма импульсов ускорения подобна форме импульсов переменного давления  $p(t)$  в различных зонах аппарата, поэтому они имеют схожий спектральный состав. От спектрального состава зависит распределение энергии акустического поля по частотам колебаний.

При перекрывании прямоугольных отверстий ротора и статора аппарата функция, описывающая зависимость относительной площади  $S'$  проходного сечения диафрагмы от безразмерного времени  $t' = t/T$ , где  $T$  — период модуляции, представлена в графическом виде на рис. 2. Степень перекрывания отверстия диафрагмы будем характеризовать глубиной модуляции

$$m = \frac{S_0 - S_{\min}}{S_0}$$

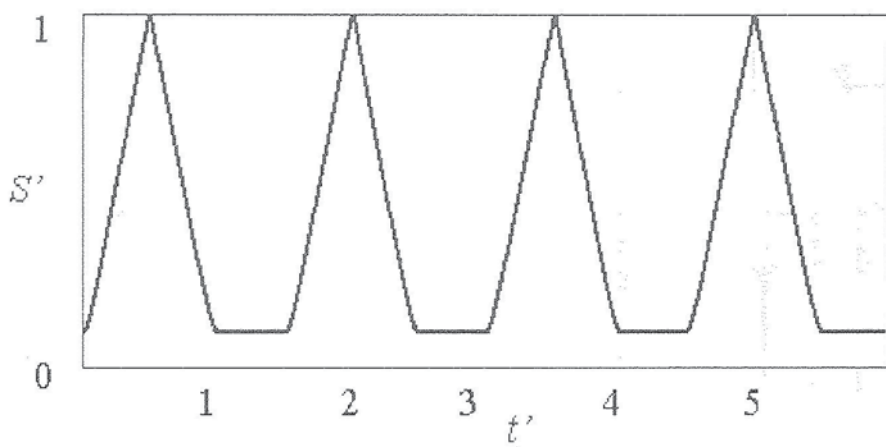


Рис. 2. Зависимость относительной площади проходного сечения диафрагмы от безразмерного времени

Дифференциальное уравнение (3) является уравнением типа Риккати и в общем случае не интегрируется в квадратурах. Поэтому был использован математический редактор MathCad, в котором методом Рунге-Кутта решалось (3) с коэффициентом сопротивления (2) и площадью диафрагмы. Условием нахождения частичного решения (3) принимаем  $v(t) = v(t+T)$ , так как  $\zeta_{\text{кв}}(t) = \zeta_{\text{кв}}(t+T)$  — периодическая функция. В результате решения получены зависимости скорости  $v^1(t^1)$  и ускорения  $d v^1 / dt^1$  жидкости от времени.

Некоторые решения представлены в графическом виде на рис.3.

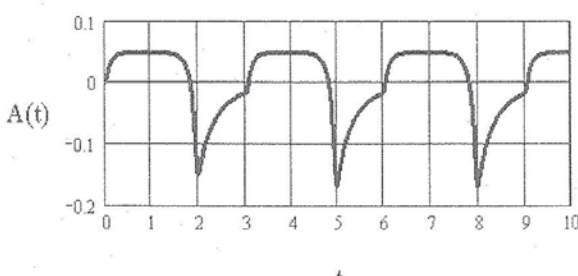
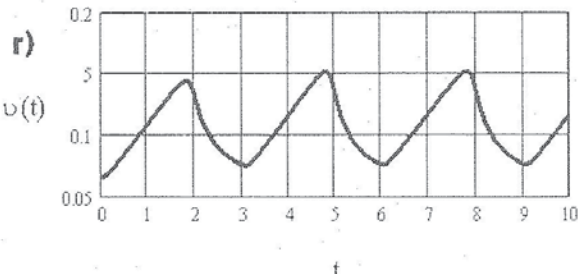
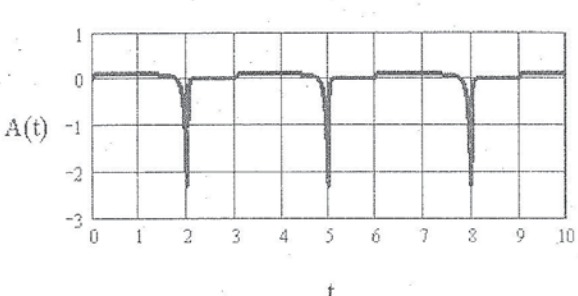
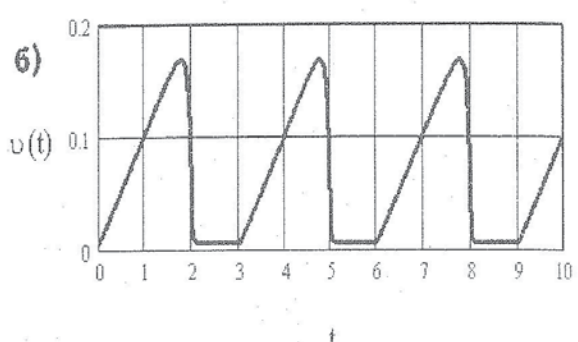
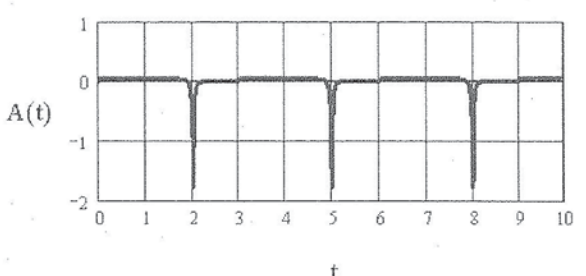
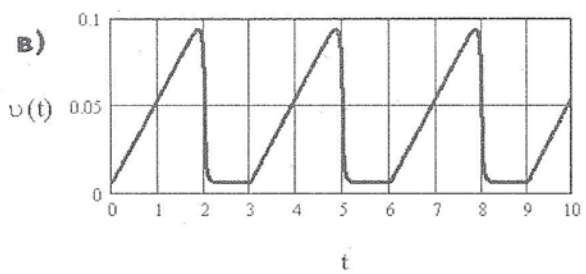
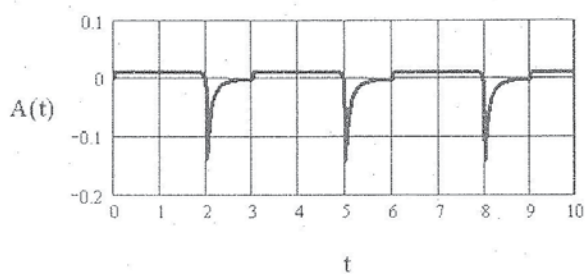
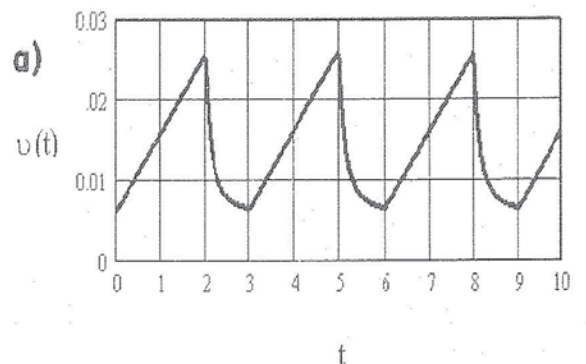


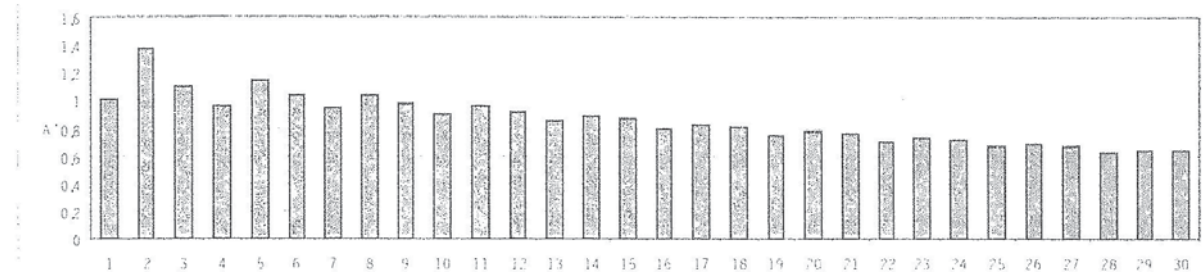
Рис 3. Динамические характеристики при: а)  $H_0 = 0,01$   $m = 0,99$ ; б)  $H_0 = 0,1$   $m = 0,99$ ; в)  $H_0 = 0,05$ ,  $m = 0,99$ , г)  $H_0 = 0,05$   $m = 0,9$ .

Как следует из графиков, чем больше глубина модуляции ( $m \rightarrow 1$ ) и меньше  $H_0$ , тем остree форма импульсов ускорения; у импульсов скорости наблюдаются пологий подъем и крутой спад, что соответствует медленному разгону и быстрому торможению потока. Следовательно, импульсы переменного давления  $p(t)$ , которое пропорционально ускорению жидкости, имеют далеко не синусоидальную форму, и соответственно в акустическом поле РАМП должно присутствовать большое число гармоник.

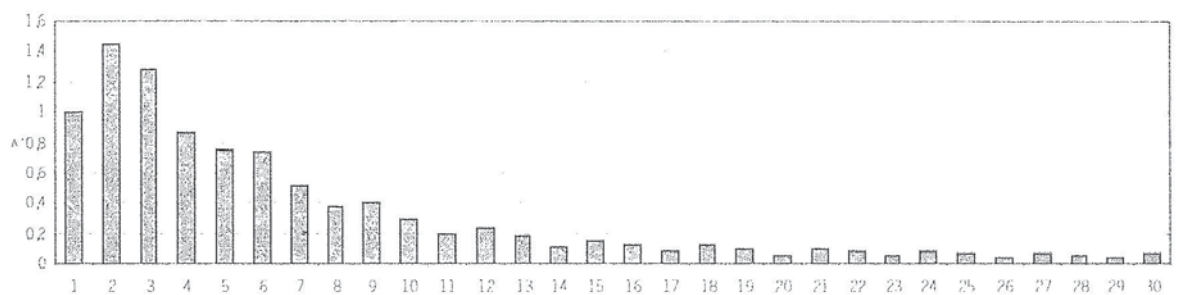
Полученные импульсы ускорения были разложены в ряд Фурье. На графиках, представ-

ленных на рис.4 показаны спектральные характеристики импульса при различных значениях критерия гомохронности при постоянном значении глубины модуляции, равном 0,99.

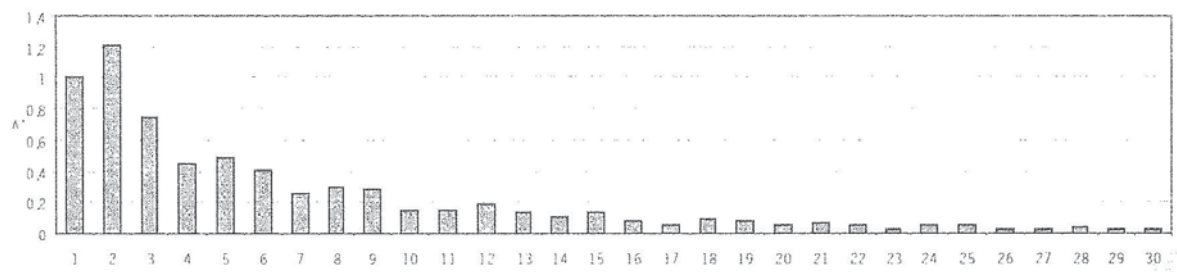
а)



б)



в)



г)

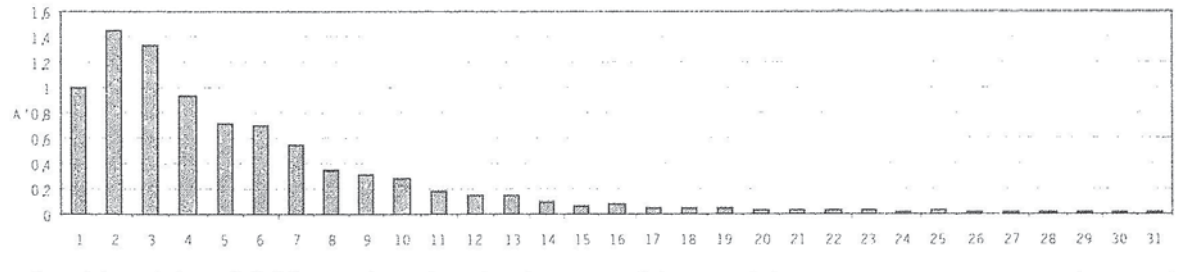


Рис 4. Спектральные характеристики импульсов ускорения при: а)  $H_0 = 0.05$   $m = 0.99$ ; б)  $H_0 = 0.5$   $m = 0.99$

в)  $H_0 = 0.05$   $m = 0.9$ , г)  $H_0 = 0.5$   $m = 0.9$ .

Величина амплитуд гармоник в спектре импульса представлена в относительном виде:  
 $A' = \frac{A_n}{A_1}$ , где  $n$  — номер гармоники.

Из графиков видно, что уменьшение критерия гомохронности приводит к возрастанию доли обертонов в частотном спектре импульсов ускорения, а следовательно, и переменного давления. Энергия акустического поля распределяется на большее число гармоник.

Но данный эффект имеет место только при достаточно глубокой модуляции ( $m = 0,99$ ).

При уменьшении глубины модуляции доля обертонов в частотном спектре импульсов снижается и перестаёт сильно зависеть от значения критерия гомохронности.

### Выводы

Так как форма импульсов ускорения определяет форму импульсов акустического давления в аппарате, то, подбирая значения критерия гомохронности и глубины модуляции соответствующим образом, можно получить акустическое поле с заданным распределением энергии по частотам. Вид распределения будет определяться технологическими параметрами процесса диспергирования и физическими характеристиками обрабатываемой среды, такими как вязкость, плотность, упругость.

### СПИСОК ЛИТЕРАТУРЫ

1. Балабышко А.М., Юдаев В.Ф. Роторные аппараты с модуляцией потока и их применение. — М.: Недра, 1992. — 176с.
2. Юдаев В.Ф. Истечениe газожидкостной смеси через отверстия ротора и статора сирены // Известия вузов. Машиностроение. — 1985. — №12. — С. 60—66.
3. Зимин А.И. Прикладная механика прерывистых течений. — М.: Фолиант, 1997. — 308с.
4. Альтшуль А.Г. Гидравлические сопротивления. — М.: Недра, 1982. — 224с.